

## ПРИЛОЖЕНИЯ

к статье А.С. Тугбаевой, А.А. Ермошина, И.С. Киселевой «Предсказание функций некоторых пероксидаз *Arabidopsis thaliana* L. на основе биоинформационического поиска»

### Приложение 1

Аминокислотные последовательности референсных пероксидаз  
 (по материалам базы данных Protein NCBI, <https://www.ncbi.nlm.nih.gov/protein/>)  
 и пероксидаз *Arabidopsis thaliana* с высоким уровнем гомологии  
 (на основе поиска с использованием сервиса Protein BLAST, <https://blast.ncbi.nlm.nih.gov>)

Пероксидаза, NCBI ID белка	Аминокислотная последовательность
Референсные пероксидазы	
ZePrx34_70 Q4W1I8.1	msyhkssgtilmvpfmlisvnyfmscnaqlsttfdttcptalstirtsirssvssnrrnaalvirllfhdcfvqgdcaslllsgagseraspandgvlygevidaaakaavervcpvvscadilavaardasavvggpswtvrlgrdsttsnaaqatdlprgnmvlsqlisnfankglntremvalsgshtlgqarcirfrgriynstlriepfnrslsqacpptgnatlrpldvtpnsfdnnyyrlvtsgllisdqvlfnadstdsivtevnnpatafaadfaamvkmseigvvtgtsgivrtlcgnps
ZPO-C BAD93164.1	maiisispfafsafilitvippseaglsphyyhqtcpqaediiffqtvrnasiydpkvparrllrmffhdcfirgcdasllldstpankaekdgppnisvrsfyvieveakakiekacphtvscadvlaiaardvvamskgpwwpv1kggrkdgrvskanetinlpspfnsnattliqsfakrgldvkdltsggghtlgfshcssfsarihsnidptinsefams1kkkcpknkdnagefldstssrfndykykritmgkvgfgsdqalygdsrtkgivdsvyakdek1ffkefaasmvklgnvgviedgeirvkcncvnn
CWPO-C BAE16616.1	msqkvvlmflvamagtatvqggtrvgyattcrraesivratvqshftsdssiapgllrmhfhdcfvngcdasilgdantektagpnllrgydiadaktqleaecpgvvscadilalaardsvvltkgltwpvptgrrdgrvslasdtsnlpgftdsvdvqkqfaafglnaqndlvtlvghigtatcqqffryrllynfttngadpsinpsfvsqlqlt1cpqngdgsrrialdtgsqnsfssfanrlsrgqgilesdqkltwdattrtfvqrflvrglagltfgvefgrsmvkmnsigvktgtgeirrvcsavn
HRP CCJ34837.1	mefvrslcvfitflgclissahgqaaarrppgisgtrigfylttcptaeiivrnnavragfnspriapgilrmhfhdcfvlgcgsvlisgsntertavpnlnlrgfevidhnaktqleatcpgvvscadilalaardtvvltrglgwqvptgrrdgrvsasnannlpgrdsvavqqqkfsavglntrdlvlaghtigtacgvfrdrlfnntdpnvnqlfltlqtqpcqngdgvrvdldtgsgttdnsyfinlsrgvlesdhvlwtdpatrpivqqlmsprgnfnafefarsmvrmsnigvvtgangeirrvcsavn
HRP-A2A CCJ34825.1	maavtnlstsccdgliisllivvsslftgtsaqlnatfysgtcpnasaiavrstiqqafqsdrigasirlhfhdcfvngcdasillddsgsiqseknaqpnansargfnvvdniyalentcpgvvscdilalaaseasvsttggpswtvllgrrdtslanlagansaipspfeglnitskfsavglntndlvalsgahtfgrarcgvfnrnlfnfsgtgnpdptlnstllsslqqqlcpqngsastitnldstpdfdnnyfanlqnngllqsdqelfsttgsatiavvtsfasnqtlffqafaqsgminmgnispltgsngeirldckkvngs
HRP-C1C P15233.1	mlhasfsnaqlptfydnscpnvsnivrdiiinelrsdpsiaasilrlhfhdcfvngcdasilldnttsfrtekdaefgnansargfpvvdrrikaaveracprtvsadvltiaaqqsvnlaggpswrpvlgrdssrqafdlananlpapsftlpekaafanvgnrpsdlnvalsggftgkncrfdlylnfsntgldptlnattyqtlrqcpcprgnqsvlvdflrlptvfdnkyyvnlkeqkqliqsdqelfssnatdtiplvrsyadgtqtfnnafveamrnmgnitpltgtqgeirlncrvnsnsllhdivevvdfvssm
TPX1 NP_001289850.1	masfsylmsvlvcviigtynaqlelnfyakscpkaeikiikdfvqqqvapkapttaaailrmhfhdcfvrcgdgsvllnftstngnqteklanpnltlrgfsfidavkrlveaecpgvvscadivalvardavvategpfnvptgrrdgtisnvseangdipaptsnftrllqqsfakkglndlvalsgahtigvsrssfserlynftgvvgtqdpsldseyadnlksrkrssindntivemdpgsfktdlsyfklllkrrglfqsaaltrtrstksfiqqlvdgplneffdefaksmekmgrvevktgsageirkhcafvnseqlv
Пероксидазы <i>Arabidopsis thaliana</i>	
AtPrx4 NP_1729061	maifkilvlllslccfsqaqlsptfydqtcqnalstirssirtaisrerrmaaslrhfhdcfvngcdasvmlvatptmeserdsianfqqsargfevidqaksavesvcpgvvscadiiavaardaseyvvgprydkvgrrdstnafraiaadrldpnfraslndlselfrlrkglntrdlvalsgahtlgqacqcltfkgrlydnssdidagfssstrkrrcpvnggdtlapldqvtpnsfdnnyyrrnlmqkkgllsldqvlfgtgastdsivteysrnpsrfa sdfsaamikmgdigtltgsdqgqirricsavn
AtPrx52 NP_1961531	masnklisilvlllqgdnnnyvveaqlttnfydstcpnllstvqtavksavnsearmgasilrlffhdcfvngcdgsillldtssftgeqnaaprnrsargfnvidniksavekacpgvvscadilaiaardsvvalggnwnvkvgrrdatsqaaasnispaptsslsqissfsavglstrdmvalsgahtigqsrrctnfrariynebninaafattrqrtrcprasgsgdgnlpldvtttaasfdnnyyfknlmqrqllhsdqvlfgngstdsivrgysnnpsfnsdtaamikmgdispltgssgeirkvgrnt
AtPrx36 NP_1906682	mntktvksmagivilsqislvalfplcicyqthqstssvaslspqfyenscpcnaqaivqsyvanayfdprmiasilrlhfhdcfvngcdasvlldssgtmesekrsnraanrdsargfevideiksalenecpetvscadlllavarudsivicggpswevylgrrdareasligsmenipspesltqtiltmfnfqgldltdlvalsghtignsrgcifqrqrlsynhtgnndpdqtlngdyasmlqqgcpisgndqnlfnldyvptkfdnnyyknlnvnfrglssdeilftqsiemvkyaaenegaffeqfafsmvkmgnispltgtdgeirricrrvnhdvn
AtPrx66 NP_2000023	mafsgklifamifavlaikpseaaldahyydqscpaakeiiletrvnrnatlydpkvparrllrmffhdcfircdasilldstrsnqaekdgppnisvrsfyviedakrklekacphtvscadviaardvvltsggpywsvlkgrkdgtisranetrnlppptfnvsqlqiqsfaarglsvkdmvtlsqgghtigfshcssfesrlqnfkskfhdidpsmnyafqat1kkcprrtsnrgknagtvtldstssvfdnnyyqilsgkvgfgsdqallgdsrtkwivetfaqdqkaffrefaasmvklgnfgvketgqrvntrfvn

**Продолжение табл.**

Пероксидаза, NCBI ID белка	Аминокислотная последовательность
AtPrx64 NP_1990331	mnahmlnllvivifvvvsfdvqalsphyydhtcpqadhiavnavkkamsndqtvpaallrmhfhdcfvrgcd gsvlldskgnkaekdgppnislhafyvidnakkaleeqcpgivscadilslaardavalsggptwavpk rkdgriskaietrqlpaptfnisqlrqngqrqlsmhdlvalsggftlgfahcssfqnrlnkfntkevd tlnpsfaarlegvcpahntvkknagsnmgtvtsfdniyykmligqkslfssdesllavpstkklvakyans neeferafvksmkmssisngnevrlnccrrv
AtPrx47 NP_0013201241	mltrfkqnnkmvranivsmvllmaivgfpfharglsmtymmscpfaeqivknsvnnaqladptlaagl irmlfhdcfiegcdaasilldstkdntaeckdspanlsrlgyeiddakekienrcpgvvscadivamaarda vfwaggpyyidpkgrfdgkrsckiedtrnlpspflnasqliqtfgqrgftpqdvdvalsgahtlgvarcssfk arltvpdsslstfantlsktcsagdnaeqpfdatrndfnayfnalqmksgvlfsdqtlfntprrnlnv gyalnqakffffdfqgamrkmsnlkvklsqgevrqncrsin
AtPrx71 NP_2012171	mglvrsllclitflncliisvhgqatarpgpvgtrigyltccpraeitrvrnnavnagfssdpriapgilr mhfhdcfvgqcdgsilisgantertagpnlnlqqfevidnaktqleaacpgvvscadilalaardtviltq gtgwqvptgrrdgrvslasnannlpgrdsavavqqqkfsalglntrdlvvlvgghtigtacgcvfrnrlfn ttgqtadtidptflaqltqcpcqngdgsrvrdltdgstwdtssyynlsrgrvlqsdqvlwttdpatrp ivqqlmaprstfnvefarasmvrmnsnigvvtgangeirrvcsavn
AtPrx25 NP_1816794	mgvylgkycimiimlvlvgkevrsqllkngystscpkaisesivrstveshfdsdptispqllrlhfhdc fvqgcdgsvlikgksaeqaalpnlrgleviddakarleavcpgvvscadilalaardsvdlsdgpsswv ptgrkdgrislateasnlpspldsvavqkqkfqdkgkldhdtlvtllgahtigqtdclffrylynftvtgn sdptispfltgkltlcpcngdgskrvaldigspskfdesffknlrdgnaillesdqrlwsdaetnavvky asrlrgllgfrdyefgkamikmssidvktvdgevrkvcskv
AtPrx3 NP_1720181	mncliaialsvsfflvgivgpiqaqlqmnfyanscpnaekivqdfvsnhvsnapslaalarlmhfhdcfvrr gcdgsvlinstsgnaerdatpnltvrgfgfidaiksvleaqcpgivscadiialasrdavvftggpnwsvp tgrrdgrisnaaealanippptsnitnlqtlfanqgldkdlvllsgahtigvshcssftnrlynftgrgg qdpaldseyaanlksrkcpslndnktivemdpgsrktfdlsyyqlvkrqrglfqsdalttnpttlnrinr iltgsvgsffsefaksmekmgrinvktgsagvrrqcsav
AtPrx39 NP_1928681	mtrfglallmilviqglvtfseaqlkmgfydqtcpyaekivqdfvvnqhinnapslaaglirmhfhdcfvrg cdgsilinatssnqqveklappnltvrgfdfidkvksaleskcpgivscadiitlatrdsivaiggptwnv ptgrrdgrisnfiaeammnnippfgnfttlitlfqgnqglvdvldvllsgahtigvshcssfsnrlfnftvg dqdpstldseyadnlksrrclsaidnntkvemdpgsrntfdlsyyqlvkrqrglfesdaaltmnpaalaqv rfaggseqeffaefsnsmekmgrinvktgsagvrrqcsav
AtPrx72 NP_2014401	makslnilaalsliafspfcclsakaygsggylfpqfydqscpkaeivqsivakafehdprmpasllrlh fhdcfvkgcdasilldssgtiisekrnsnpnrnsargfelieekhaleqecpetvscadilalaardstvi tggpswevplgrrdargaslsgsnnidapnntfqtltkfkrgqldlvldvslsgshtignsrctsfrqr lynqsgngkpdmtlsqyyatllrqrcprsgdqtlfdfatpfkfdnhfyfknlmykgllssdeilftkn kqskelvelyaenqeaffeqfaksmvkmgnispltgakgeirricrrvnhay
AtPrx62 NP_1987741	mglvrsfalvivflscliavygqgtrigfysttcpnaetirtvashfgsdpkvapgllrmhnhdcfvqg cdgsvllsgpnsertaganvnihgfeviddkrqleacpgvvscadilalaardsvslngqswqvptgr rdgrvslasnnnlpspsdlsaiqqrkfsafarlntdvlvlgghtigtacgfitnrifnssgntadpt mdqtfpvqlqrlcpqngdgsarvdltdgsntfdtsyfinlsrnrgilqsdhvlwtspatrsivqefmapr gnfnvqfarasmvkmnsnigvktgtngieirrvcsavn
AtPrx69 NP_2012151	mrgrynlflvltflvlaavtaqgnrgsnsrggrrphvgfgygnrcrnavesivrsvvqshvrsipanapg lrmhfhdcfvhgcdgsvlllagntsertavpnrsrlrgfevieekarlekacprtvscadilalaardavv tggqrwevplgrldgrisqasdvnlpgpsdsvakqkqdfaaktlntldlvlgghtigtacgclvrgrv nfngtqgpdpstidpsfvplilaqcpqngttrveldegsvdkfdfsirkvttssrvvlqsdllvkwkdpeta ierllgirrpslrftefgksmvkmnslievktgsdgeirrvcsain
AtPrx13 NP_1778353	mitialflvlllyfhqdqlysaqlqfgfysetcpsaesivrdvvqqavtnpgkaavllrlqfhdcfvegc dgsilikhggndderfaagnagavagfdvideakselerfcpgvvscadivalaardaiaeakgpfyevptg rrdglianvdhaknlpdvqdsintlkskfrekglqdldvllsagahtigttacffviprladaqdptinpe ffqilrskcpqggdvnvriplwdwsqfvfdqnifqnikngrgviltsvlyqdnmmkkiidsyletnqssk anfaadftkamikmgaigvkigaegirrlcsatn
AtPrx2 NP_1962901	mavtnlpctdglfiislivivssifgtssaqlnatfygtcpnasaivrstiqqalqsdtrigaslirlh hdcfvngcdasillddtgsiqsekagnpvnvsargfnvvdnktalenacpgvvscsdvlalaseasvsl ggpswtvllgrrdsltanlaganssipspieslslsnitfkfsavglntndlvalsgahtfgrarcgvfnr fnfsgtgnpdptlnstllstlqlcpqngsastitnldstpdafdnnyfanlqsnndgllqsdqelfsnt sstiaivtsfasnqtlffqafqasminmgnispltgsngeirqdckvvnqgssateagdiqlqsdgpvsv adm
AtPrx54 NP_1962911	mavtsssstcdgffiiislivivssifgtssaqlnatfygtcpnasaivrstiqqalqsdarigglelrlh fhdcfvngcdgslllldtssiqsekagnpananstrgfnvvdnktalenacpgivscsdvlalaseasvsl aggpswtvllgrrdgtlanlsgansslpspfeqlnnstskfvavgkttdvvslsgahtfgrggcvtfnr lfnfnqtdgnpdptlnstllstlqlcpqngsntgitnldstpdafdnnyfanlqsnndgllqsdqelfsnt gsatvpivnsfasnqtlffqafqasminmgnispltgsngeirqdckvvnqgssateagdiqlqsdgpvsv adm
AtPrx22 NP_1813721	mgfspsfscsaigalilgcl1qasnsnaqlrpdfyfgtcpfvfdiigniivdelqtdpriaasllrlhfh dcfvrgcdasilldnstsfrtekdaapnansargfnvidrmkvaleracpgrvscadiltiasqisvllsg gpwwpvpvlgrrdsveaffalantalpspffnltqlktafadvglnrtSDLvalsggftfgraqcqfvtp ynfnqtnspdpsslntpvlvelrlcpqngngtvlnvfdvtpdafdsqyytlnrngkliqsdqelfstpg adtiplvnyssdmvffrafidamirmgnlrpltgtqgeirqncrvnprirvvenddgvvssi

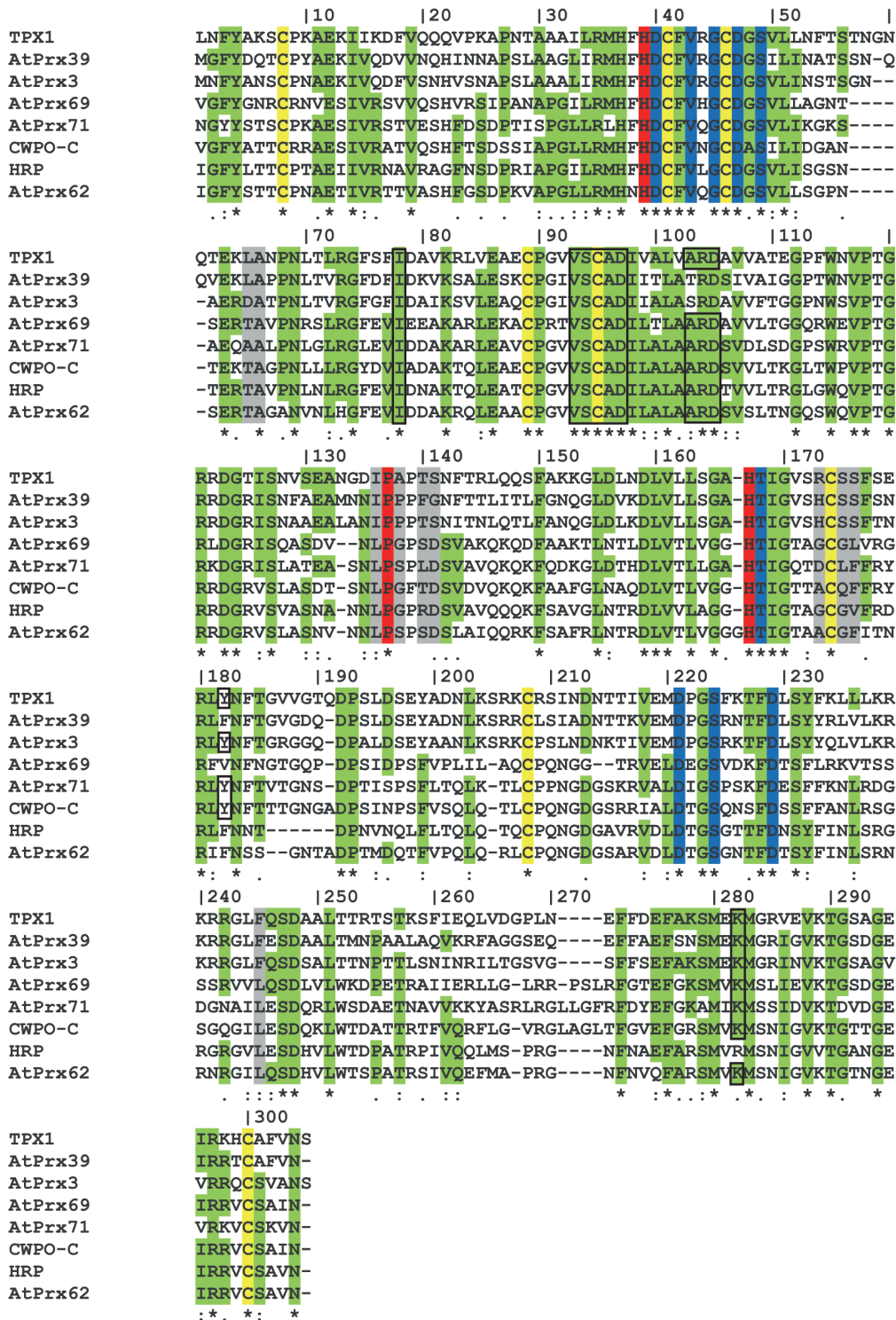
**Окончание табл.**

Пероксидаза, NCBI ID белка	Аминокислотная последовательность
AtPrx58 NP_1974881	mglsktiplvllpilmfgvlsnaqltsdfysttcpnvtaiarglierasrndvrltakvmrlhfhdcfvngcdgsvlldaapadgvegekeafqnnagsldgfefiddiktalenvcpgvvscadilaiaeisvalaggpsldvllgrdgrtairadavaalplgpdsleiltskfsvhnldtdlvalsgahtfgrvqcgvinnrlhnfsngnsgsdpsiepeflqtlrrqcpqggdltaranldptspdsfdndyfknlqnrgviesdqilfsstgaptvslnvrfaenqnefftnfarsmikmgnvriltgregeirrdcrvn
AtPrx37 OAP011131	mhssliklgflllliqvslshaqlspsfydktcpqvfdiattivnalrsdpriaasilrlhfhdcfvngcdasilldnttsfrtekdaafgnansargfdvidkmkaavekacpktvscadillaiaaqesvvlaggpswrvpngrrdsrlrgfmdlandlpapfftlnqlkdrfkvnvgldralsqsghtfgknqcqfimdrlynfsntglpdptlnksylst1rkqcprngnqsvlvdflrtptlfldnkyyvn1kenkgliqsdqelfsspdasdtplvreyadgqgkffdafakamirmsslspltgkqgeirlnrcrvvnskskimdvvedalefassm
AtPrx23 NP_1813731	mgfssslscsamgalivgclllqasnsnaqlrpdyfrtcppifniigdtivnelrtdpriiasllrlhfhsdcfvrgcdasilldnttsfrtekdaapnknsvrgfdvidrmkaaieracprtvsaditiqisqsvllsggpwwpvplgrldsveaffalantlpapffstlqktafadvglnrpsdlvalsggghtfgkaqcqfprlynfngtnrpdpslnptylvelrrlcpqngntgtvlvndsfvtptfdqrqyytlnlqgkliqsdqvlfstpgadtiplvnqyssntfvffgafvdamirmgnlkpltgtqgeirrqncrvvnprirvvenddgvvssi
AtPrx32 NP_8506521	mnfssysslstwttlmtlgclllhssissaqlptfydntcpsvftivrdtivnelrsdpriiasllrlhfhsdcfvngcdasilldnttsfrtekdaapnansargfpvidrmkaavetacprtvsadiltiaaqgvnlaggpswvplgrrds1qaffalantlpapfftlpq1kasfqnvglrpsdlvalsggghtfgknqcqfimdrlynfsntglpdptlnttyleqtlrgqcprrngnqsvlvdflrtptvfdnkyyvn1kelkgliqtdqelfssnatdtiplvreyadgtqkfnafveamnrnmgnitpltgtqggirqnrcrvvnsnsllhdvveivdfvssm
AtPrx33 NP_1904801	mqfssssitsftwtvlitvgclmlcasfsdaqlptfydtsctvtnivrdtivnelrsdpriagsilrhfhdcfvngcdasilldnttsfrtekdaalgnansargfpvidrmkaaveracprtvsadmltiaaqgsvtlaaggpswkvpplgrrds1qaflealanlpapfftlpq1kasfrnvglrpsdlvalsggghtfgknqcqfimdrlynfsntglpdptlnttyleqtlrglcplngnrsalvdfdlrtptvfdnkyyvn1kerkgliqsdqelfssnatdtiplvrayadgtqtfafveamnrnmgnitpttqgtqggirlnrcrvvnsnsllhdvvdivdfvssm
AtPrx34 NP_1904811	mhfsssstsstwtilt1lgclmlhaslisaqlptfydrscpnvtinvretivnelrsdpriiasilrlhfhdccfvngcdasilldnttsfrtekdaafgnansargfpvidrmkaaveracprtvsadmltiaaqgsvtlaaggpswvplgrrds1qaflealanlpapfftlpq1kasfrnvglrpsdlvalsggghtfgknqcqfildrlynfsntglpdptlnttyleqtlrglcplngnrsalvdfdlrtptvfdnkyyvn1kerkgliqsdqelfssnatdtiplvrayadgtqtfafveamnrnmgnitpttqgtqggirlnrcrvvnsnsllhdvvdivdfvssm
AtPrx38 NP_1926181	mhssliklgflllliqvslshaqlspsfydktcpqvfdivtntivnalrsdpriiasilrlhfhdcfvngcdasilldnttsfrtekdaafgnansargfdvidkmkaaiekacprtvsadmlaiaakesivlaggpswmvpngrrdsrlrgfmdlandlpapfftlnqlkdrfkvnvgldrssdlvalsggghtfgksqcqfimdrlynfgetglpdptldksylat1rkqcprngnqsvlvdflrtptlfldnkyyvn1kenkgliqsdqelfsspdaadtplvrayadgqgtffdafvkairmsslspltgkqgeirlnrcrvvnskskimdvvddalefasfm

## Приложение 2

Множественное выравнивание аминокислотных последовательностей S-пероксидаз с использованием алгоритма CLUSTAL по MUSCLE (3.8).

Структурные мотивы S-пероксидаз определяли путем выравнивания с референсной пероксидазой TPX1 из *Lycopersicon esculentum*. Зеленым цветом выделены консервативные участки; активный сайт (H43), сайты связывания субстрата (P137) и гема (H167) – красным; лиганды боковой цепи к дистальному (D40 и D48) и проксимальному (D221 и D229) ионам  $\text{Ca}^{2+}$  – синим; остатки цистеина, участвующие в образовании дисульфидных мостиков 8–89, 41–46, 95–300 и 174–208, – желтым. Аминокислоты, выстилающие канал для доступа к субстрату (на основе структур TPX1), закрашены серым. “\*” – аминокислотные остатки идентичны во всех последовательностях выравнивания; “:” – консервативные замены; “.” – полуконсервативные замены.



### Приложение 3

Множественное выравнивание аминокислотных последовательностей G-пероксидаз с использованием алгоритма CLUSTAL по MUSCLE (3.8).

Структурные мотивы G-пероксидаз определяли путем выравнивания с референсной пероксидазой *A. rusticana* HRP\_A2A. Зеленым цветом выделены консервативные участки; активный сайт (H42), сайты связывания субстрата (P139) и гема (H169) – красным; лиганды боковой цепи к дистальному (D43 и D50) и проксимальному (D221 и D229) ионам  $\text{Ca}^{2+}$  – синим; остатки цистеина, участвующие в образовании дисульфидных мостиков 11–91, 44–49, 97–301 и 176–208, – желтым. Аминокислоты, выстилающие канал для доступа к субстрату (на основе структур HRP\_A2A), закрашены серым. “\*” – аминокислотные остатки в идентичны во всех последовательностях выравнивания; “:” – консервативные замены; “.” – полуконсервативные замены.

